

УДК 541.126.4

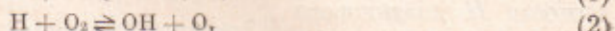
ФИЗИЧЕСКАЯ ХИМИЯ

Л. А. ЛОВАЧЕВ, В. Т. ГОНТКОВСКАЯ

НЕЛИНЕЙНОЕ САМОВОСПЛАМЕНЕНИЕ В КИНЕТИКЕ  
ОКИСЛЕНИЯ ВОДОРОДА

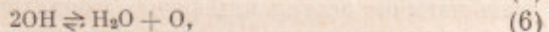
(Представлено академиком В. Н. Кондратьевым 7 IV 1971)

Изучение самовоспламенения при окислении водорода (1–3) привело к тому, что эта разветвленная цепная реакция была изучена наиболее полно, а константы ее элементарных процессов многократно измерены (1). Основная часть схемы окисления водорода без участия процессов на стенах записывалась следующим образом (1–3):



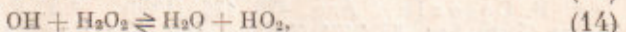
Линейная схема с тремя активными центрами получается из (1)–(4) при  $k_{-1} = k_{-2} = k_{-3} = k_{-4} = 0$  и без учета выгорания. Из решения для линейной схемы (2) следует, что при  $\varphi = 2k_2[\text{O}_2] - k_4[\text{O}_2][\text{M}] < 0$  идет медленная реакция, а при  $\varphi > 0$  происходит самоускорение, которое заканчивается взрывным самовоспламенением.

Процесс (4) был введен в схему окисления для объяснения наблюдаемого на опыте второго предела (3). При этом сразу же возник вопрос о последующем поведении  $\text{HO}_2$ . Было предположено, что радикал  $\text{HO}_2$  является малоактивным (3). Такое предположение не нашло подтверждения при измерении элементарных констант с участием  $\text{HO}_2$  в последующие годы (4). В (5, 6) исследовались нелинейные эффекты окисления  $\text{H}_2$  во фронте пламени с учетом (5)–(9):



В (4) отмечается, что процесс (5) мог бы существенно изменить кинетику около второго предела, если бы он шел с заметной скоростью. Роль (5) рассматривалась в (1) при повышенном инициировании.

Система прямых и обратных процессов (1)–(9) не дает медленной реакции для  $\varphi < 0$  выше второго предела. Добавление процессов (10)–(16) не изменяет этого результата:



Система изотермических кинетических уравнений для OH, H, O, HO<sub>2</sub>, H<sub>2</sub>O<sub>2</sub>, H<sub>2</sub>, O<sub>2</sub> и H<sub>2</sub>O с учетом прямых и обратных процессов (1) — (16) при  $k_1$  по (4) решалась на ЭВМ. Считалось, что время задержки воспламенения  $t_s$  равно времени образования 10% H<sub>2</sub>O. Характер изменения OH, H и O сначала аналогичен их поведению при  $\varphi < 0$  в трехцентровой линейной задаче  $d^2[i]/dt^2 < 0$  при  $t > 0$ . Однако через некоторое время после этого возрастающая концентрация HO<sub>2</sub> становится достаточной для того, чтобы скорость  $k_5[H][HO_2]$  вызвала ускоряющееся накопление OH, которое в последующем развитии приводит к тому, что  $d^2[H]/dt^2$  и  $d^2[O]/dt^2$  становятся положительными. Это заканчивается типичной взрывной вспышкой с быстрым возрастанием OH, H, O и H<sub>2</sub>O, как и при  $\varphi > 0$ . Такие качественные особенности поведения кинетических уравнений, обусловленные нелинейностью, реализуются при очень малых степенях выгорания. При давлениях выше 2-го предела времени задержки воспламенения  $t_s < t_d$ , где  $t_d = x^2/2D$  — время диффузии к стенке реакционного сосуда. При столь быстром развитии самовоспламенения реакции на стенке не могут влиять на удаленные области реакционного сосуда. В интервале между 2-м и 3-м пределами увеличивается  $t_d \sim P$ , но возрастание  $t_s$  по схеме (1) — (16) не изменяет соотношения времен  $t_s < t_d$  для всего полуострова невоспламенения между давлениями  $P_2$  и  $P_3$ .

Таким образом, схема (1) — (16) не может объяснить 2-й и 3-й пределы, так как в этой схеме процесс (4) не является обрывом, а вследствие того что  $t_s < t_d$ , гибель HO<sub>2</sub> на стенке не может остановить взрывное развитие окисления в центре сосуда. Только для малых сосудов ( $x < 0,5$  см) может быть достигнуто условие, когда  $t_s = t_d$ . Необходимое увеличение  $t_s$  по сравнению с тем, которое получается по схеме (1) — (16), может быть обеспечено только за счет объемных реакций, снижающих концентрацию HO<sub>2</sub> и вызывающих поэтому уменьшение скорости  $k_5[H][HO_2]$  в уравнении для OH. Если к схеме (1) — (16) добавить процесс



то в интервале между  $P_2$  и  $P_3$  сильно возрастут  $t_s$ . Зависимость  $t_s$  от  $P$  для  $T = 800^\circ K$  представлена на рис. 1. Теперь  $t_s > t_d$  и при больших  $t_s$  процесс развивается в режиме медленной реакции. При  $t_s \approx t_d$  гибель активных центров на стенке вызывает сильное затягивание времени развития процесса по сравнению с  $t_s$ , которое на рис. 1 вычислено без учета влияния стенок. Временная зависимость влияния диффузии к стенке могла бы быть определена по решению системы уравнений диффузии и уравнения теплопроводности. Однако развитие окисления во времени осложняется еще рядом обстоятельств.

Конвекция может оказывать воздействие на временное развитие процесса при относительно высоких давлениях и по мере увеличения размеров сосудов, когда молекулярная диффузия проявляется лишь через большие промежутки времени. В (7) было установлено, что в газах влияние конвекции на самовоспламенение начинаетказываться уже при числах Грасгофа  $Gr \approx 600$ . В (8) дается опытная зависимость времени возникно-

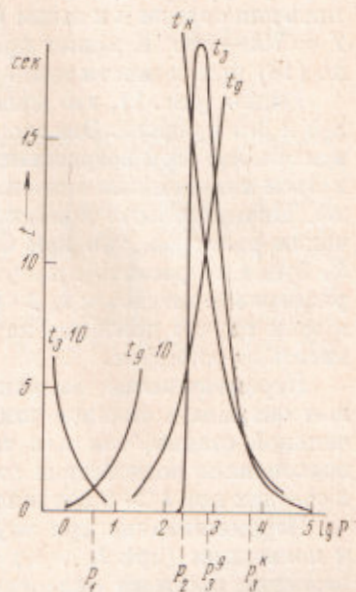


Рис. 1. Зависимость времени задержки  $t_s$ , времени диффузии  $t_d$  ( $x = 4$  см) и времени возникновения конвекции  $t_k$  от давления  $P$  (мм рт. ст.) для смеси  $2H_2 + O_2$  при  $T = 800^\circ K$

вения конвекции  $t_k$  для чисел  $\text{Pr} \geq 10$ :

$$t_k = \frac{70}{[g(1 - \rho'/\rho)]^{1/3}} (v)^{1/6} (a)^{-1/6}, \quad (18)$$

где  $g$  — ускорение,  $\rho$  — плотность,  $v$  — кинематическая вязкость,  $a$  — температуропроводность. По-видимому, соотношение (18) можно применять для оценки и к газам ( $\text{Pr} \approx 1$ ). Итак,  $t_k \sim 1/P^{1/3}$ , т. е. конвекция для  $T = 700-800^\circ\text{K}$  может проявляться при  $P > 300$ . На рис. 1  $t_k$  вычислено по (18) при разности температур  $5-7^\circ\text{K}$ .

Видно (рис. 1), что одна только молекулярная диффузия могла бы дать 2-й и 3-й пределы. Эти же пределы могут быть получены и только за счет конвекции. При возрастании размеров  $t_d$  будет увеличиваться, а  $t_k$  оставаться неизменным или снижаться, если разность плотностей станет больше. Интенсивность конвективного движения будет возрастать при увеличении размеров, так как  $\text{Gr} \sim x^3$ . Таким образом, пока  $t_s > t_d$  давление  $P_2$  будет возрастать при увеличении размеров. Дальнейшее увеличение размеров приведет к  $t_d > t_s$ , и тогда  $P_2$  определится условием  $t_k < t_s$ , а в этом случае давление на 2-м пределе, по-видимому, почти не будет зависеть от размеров.

Перемешивание, вызванное выпуском смеси в реакционный сосуд, может оказывать сильное влияние на развитие процесса окисления в начальной стадии, так как такое движение реагирующей смеси вызывает повышенное воздействие степок при  $t > 0$ . Распределение температуры в сосудах при  $t > 0$  изучалось в (9, 10).

Перемешивание при впуске, молекулярная диффузия (когда  $t_s > t_d$ ) и конвекция (при  $t_s > t_r$ ) вызывают значительное увеличение времени развития процесса окисления по сравнению с  $t_s$ , приведенным на рис. 1. Все эти эффекты приводят к тому, что реальная зависимость  $t_s = f(P)$  приобретает еще более резкий характер в смысле быстроты возрастания времени развития процесса окисления в узком интервале изменения давления. Поэтому наблюдаемые на опыте пределы воспламенения воспринимаются как некоторая резкая граница перехода от вспышки к медленной реакции. При переходе к более низким, чем на рис. 1, температурам время задержки  $t_s$  увеличивается, а интервал давлений, в пределах которого  $t_s \geq t_d$ , возрастает. Таким образом, при некоторой пониженной температуре реализуется условие  $P_1 = P_2$ , которое ограничивает полуостров самовоспламенения со стороны низких температур. Третий предел по мере снижения температуры исчезает вследствие того, что при любых  $P$   $t_s > t_d$  и  $t_s > t_r$ .

Переход к более высоким, чем на рис. 1, температурам приводит к снижению  $t_s$  и уменьшает интервал давлений, внутри которого  $t_s \geq t_d$ . Дальнейшее увеличение температуры создает условие, когда  $P_2 = P_3$ . Это условие определяет наиболее высокую температуру  $T_m$ , отделяющую полуостров самовоспламенения от области воспламенения. При более высоких температурах  $T > T_m$  характер изменения  $t_s = f(P)$  сходен с тем, который изображен на рис. 1, но самовоспламенение происходит при любых  $P$  и  $T > T_m$ . Эта область самовоспламенения разделена на две подобласти границей, определяемой условием  $\varphi = 0$ .

Установление предельных давлений  $P_1$ ,  $P_2$  и  $P_3$  по равенству времен (рис. 1) следует понимать как доказательство существования всех трех пределов по схеме окисления (1) — (17). Вместе с тем эта процедура определяет и некоторые интервалы давлений, внутри которых будут находиться значения каждого из трех пределов. Точное значение предельных давлений может быть определено только по решению системы уравнений Навье — Стокса, теплопроводности, диффузии и неразрывности. При идеальном впуске смеси начальные условия для этой системы уравнений могут быть точно сформулированы. Реальный выпуск смеси в реакционный сосуд осуществляется за конечное время и сопровождается турбулентным движени-

ем, рассмотрение которого чрезвычайно затруднительно. Это не позволяет задать начальные условия в полном соответствии с наблюдаемыми на опыте впуском и самовоспламенением. Применение вместо впуска способов изменения давления в нагретом сосуде или нагрева смеси в сосуде не исключает трудностей, связанных с заданием точных начальных условий.

Институт химической физики  
Академии наук СССР  
Москва

Поступило  
4 III 1971

#### ЦИТИРОВАННАЯ ЛИТЕРАТУРА

- <sup>1</sup> Н. Н. Семенов, О некоторых проблемах химической кинетики и реакционной способности, М., 1958. <sup>2</sup> В. Н. Кондратьев, Кинетика химических газовых реакций, М., 1958. <sup>3</sup> Б. Льюис, Г. Эльбе, Горение, пламя и взрыва в газах, М., 1968. <sup>4</sup> В. Н. Кондратьев, Константы скорости газофазных реакций, М., 1970. <sup>5</sup> Л. А. Ловачев, В. Я. Басевич и др., Изв. АН СССР, сер. хим., 1970, 1256. <sup>6</sup> Л. А. Ловачев, В. Я. Басевич и др., Изв. АН СССР, сер. хим., 1971, 881. <sup>7</sup> Р. G. Ashmore, B. J. Tyler, T. A. B. Wesley, Eleventh Symp. (Intern.) on Combustion, Pittsburg, 1967, p. 1133. <sup>8</sup> А. Г. Мержанов, Э. А. Штессель, ДАН, 191, 779 (1970). <sup>9</sup> P. Gray, P. R. Lee, Eleventh Symp. (Intern.) on Combustion, Pittsburg, 1967, p. 1123. <sup>10</sup> D. H. Fine, P. Gray, R. Mackinven, Proc. Roy. Soc. A, 316, 223 (1970).